

14 短光路共鳴吸収法による多成分大気汚染同時検出システムの開発

AN AIR-POLLUTION MONITORING SYSTEM FOR MULTIPLE POLLUTANTS OVER SHORT PASS

佐野 博也 古賀 隆治

Hiroya SANO

Ryuji KOGA

岡山大学工学部電子工学科

Department of Electronics, Okayama University

棚田 嘉博

Yoshihiro TANADA

1 緒言 環境基準濃度の窒素酸化物の濃度測定にあたって湿式法が用いられることが多いが対象とする汚染ガスの濃度が極めて希薄な場合は試料大気のサンプリング時の器壁への付着、前処理段階での他物質からの干渉を受けるなどの問題がある。

これに対し複数の波長のレーザ光に対する長光路の吸収を利用した方法は測定感度、干渉の排除、*in situ* であるなど等の利点はあるが反射鏡の設置やレーザレーダ構成を必要とするなど計測方式としては大がかりとなる。

レーザを用いない相関分光計では同一の波長域に吸収線を共有する複数のガスが混在する汚染大気に対して各成分の濃度を分離して知ることができる。この方式において分光器を可調レーザに置き換えるとレーザのスペクトルが狭くから混在ガス相互の干渉の少い測定方式が得られると期待できる。

いずれの吸収法にも共通してその感度は濃度距離積の形であらわされ、短い光路長しか持たない小形の機器において検出可能最低濃度を上げるために光電変換における信号対雑音比を高めることが必要である。光源としてパルス動作レーザを用いるならば電子工学的な技術の利用によって総合的な光電変換の信号対雑音比を向上させ得るのでこの目的に沿うことができる。

以上の理由により我々は測定対象としての大気に触れず、短光路を用いた小型の、そして複数の大気汚染ガスが混在していても個々の濃度を相互の干渉なしに分離できる測定方式を目指し、パルス動作の色素レーザと *on-line* の小

形計算機を結合した方式の開発に当った。基礎となる技術的問題を解明するために第一段階として NO_2 ガスを対象とし可視領域 460~470 nm におけるスペクトルが安定に採れる装置の開発を行った。同時に、得られた数値データを計算機により数値処理して NO_2 の濃度を雑音の中から拾い出し、また機器システム全体の動作を自動的に制御するソフトウェアの開発を行った。

2 測定原理と個別ガス濃度の分離

図1は光学的な構成を主としたブロック図である。色素レーザのパルス出力光はビームスプリッタにより分けられ、1部は入射光エネルギーを測定するためフォトダイオード #1 に導かれ、残りは測定すべき汚染大気中を $L [m]$ 通

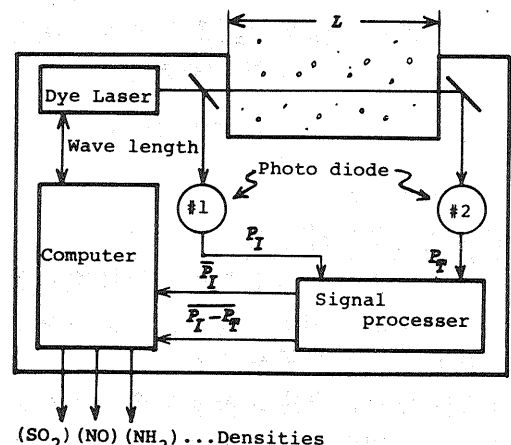


図1 吸收法による多成分大気汚染計測システムの概念図

過した後、フォトダイオード #2 に至る。室内実験では汚染大気の部分は熔融石英の窓を持つセルに置き換えられている。2つのダイオードの出力は電子回路によって整合フィルタリングと AD 変換を受けた後、計算機に送られる。

いま波長域 $\Lambda = [\lambda_{min}, \lambda_{max}]$ において測定の対象となる有色ガスも含めて混在するガスの吸収断面積と濃度をそれぞれ $A_i(\lambda) [m^2]$, $C_i [ppm]$, $i=1 \dots I$ とすれば雑音を考えないとして透過光と入射光のエネルギー $P_T, P_I [J]$ について Lambert-Beer の法則

$$P_T = P_I \exp \left[-a \sum_{i=1}^I (C_i \cdot L) A_i(\lambda) \right] \quad (1)$$

が成立つ。但し a は分子密度 $[m^{-3}]$ と濃度 $[ppm]$ との換算係数で温度が 300 K のとき $a \approx 2.7 \times 10^{19} [m^{-3}]$ である。ここで波長に依存する光学的厚み $f(\lambda)$ 、すなむち

$$f(\lambda) = a \sum_{i=1}^I (C_i \cdot L) A_i(\lambda) \quad (2)$$

が測定によって得られるならば区間 Λ において

$$d \langle A_i(\lambda), A_j^*(\lambda) \rangle_\Lambda = \delta_{ij} \text{ (Kronecker)} \quad (3)$$

となるよう選んだ随伴スペクトル $A_j^*(\lambda)$, $j=1 \dots I$ を用いて

$$C_i \cdot L = \langle A_i^*(\lambda), f(\lambda) \rangle_\Lambda \quad (4)$$

なる演算によって濃度 C_i が算出される。

実際の測定にあたってはその値に雑音が混入するので最終的結果は誤差を含み、雑音がガウス的であれば $C_i \cdot L$ の標準偏差は

$$\sigma(C_i \cdot L) = \sigma(\langle A_i^*, n \rangle) \quad (5)$$

によって与えられる。

3 電子的信号処理方式について

フォトダイオードの出力から計算機に至るまでのプロック図を図2に示す。図の中で遅延回路は色素レーザを駆動する N_2 レーザ装置の発生する衝撃性の電磁気雑音を避けるためのものである。相関フィルタはフォトダイオードからの電気信号が $1\mu\text{s}$ のゆらぎ持たないのでその間のみレーザ光に同期して予め設定した波形との相関をとるもので Walsh-Fourier 変換を基に設計され、高速の電子スイッチ群により

[1] 構成されている。

この信号処理系統は单一の系統により2つの信号 P_T, P_I を測定するため電子スイッチにより差動アンプの出力 $K(P_I - P_T)$ と正規化信号 P_I を交互に測定して2つの累算器に蓄える。

使用しているレーザは Molelectron 社のもので N_2 レーザ励起のパルス動作色素レーザであるがその出力の変動は $10^4/\text{s}$ 程度のドリフトと1発毎にはじ無相関で約 5% の標準偏差を持つゆらぎに分けられる。^[2] これらのゆらぎは前記累算器の内容の比を取ることにより2次の微小量となる。

電子信号処理系の発生する内部雑音はフォトダイオードの出力が充分大きいので AD 変換の量子化雑音に比べ充分小さくすることができます。

最終的に取り除き得ないのはビームスプリッタのスプリット比 $\sigma(\approx 1)$ のゆらぎ $\delta\sigma$ とフォトダイオードの量子雑音 n_g (信号に対する相対値) である。我々の場合については $\lambda \approx 460\text{ nm}$, 光入力が約 1 nJ , 量子効率 30% の値を用いると理論的に

$$\sigma(n_g) \sim 10^{-5} \quad (6)$$

が得られる。また信号レベルが大きいことと相関フィルタの利用によりショット雑音は無視できる。

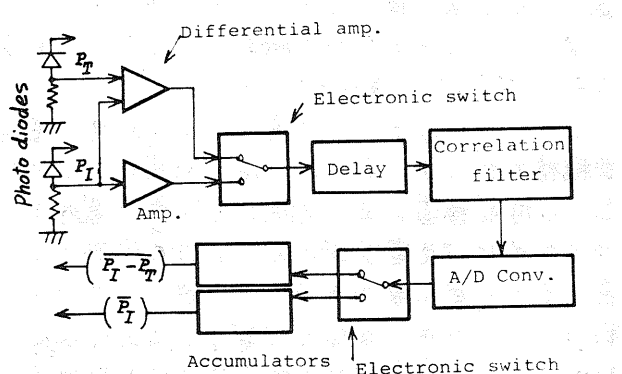


図2 電子信号処理系統のブロック図

ビームスプリット比のゆらぎ $\sigma(\delta\sigma)$ については実測値を得ていながら仮にこれを 0 とすると波長 462.7 nm と 462.8 nm を用いた差分吸収方式による NO_2 の濃度測定を想定すれば、その測定値のゆらぎ(標準偏差)は

$$\sigma(C_{NO_2} \cdot L) = 0.04 [\text{ppm} \cdot \text{m}] \quad (7)$$

となる。S/N = 1 によって検出限界を定義するならばこの 0.04 [ppm · m] が本方式の 1 つの検出限界と言える。

4 パルス数配分の最適化 この方式を実用化するためにはレーザパルスの総発射数を制限したうえで、複数のガスのいずれに対しても良い S/N を得る必要がある。

光学的厚み f の測定値に雑音が混入すると計算機による数値処理の結果には標準偏差が(5)式で与えられるようなゆらぎが生ずる。レーザを 1 回発射した結果の f のゆらぎを σ_f とすればこれがガウス性雑音であると考えて M_j 回の平均を取ると、そのときの波長 $\lambda = \lambda_j$ における f のゆらぎは見かけ上

$$\sigma_f = \frac{1}{\sqrt{M_j}} \sigma \quad (8)$$

で与えられる。

極めて多くの波長 $\lambda = \lambda_j, j=1 \dots J$ において f を測定する場合を考えて総パルス数 $M = \sum M_j$ が一定という拘束条件の下で $\sigma(C_i L)$ を最小にするパルス数配分は波長の割りあてを連続的にした時の変分法の適用により

$$M_j \propto \Delta_i^*(\lambda_j) \quad (9)$$

によって与えられる。

さらに複数物質の同時測定を行う場合は測定波長 λ_j の選択とパルスの配分を適当にして複数の $\sigma(C_i L), i=1 \dots I$ を同時に引き下げる、いわゆる多目的最小化問題が生ずる。この問題の解として非劣解と呼ばれるものがあるがこれを求めるることは徒に計算を複雑にすることになるので我々は代りに min-max 問題を考えようとしている。すなまち対象とする複数の汚染物質があるときその中で検出精度の最も悪いものができるだけ良くなるようなパルス数配分を求める問題が得られる。

5 可視域 462.5 ~ 463.0 nm における NO_2 吸収スペクトルの測定例 この方式のハードウェアは本質的には複光束形の吸光度計を可同調レーザと電子回路によって構成しようとするものであるから、その精度は例えば希薄

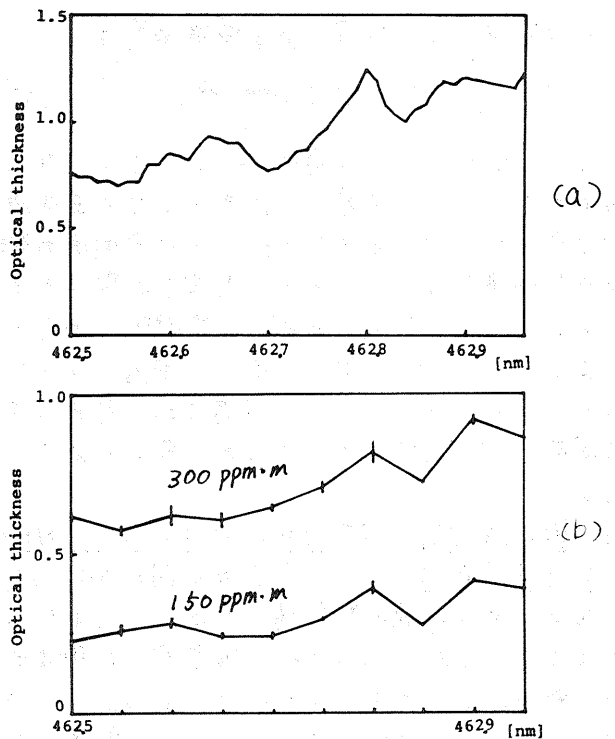


図3 NO_2 の吸収スペクトル (a) Wilkersons によるもの、(b) 本研究における測定例

な NO_2 の吸収スペクトルをどれだけ精度良く、安定に採れるか、によって評価することができる。図3は本研究で採った NO_2 の吸収スペクトルと Wilkerson ら^[2]によて報告されている吸収スペクトルを試料の濃度距離積が等しくなるよう尺度を調節して示したものである。

図4は本システムにおいて清浄大気を対象としてその減衰を長時間測定し、システムの時間安定性を測定した結果である。これら 2 つの結果から $\lambda = 462.7, 462.8 \text{ nm}$ の 2 波長を用いる差分吸収方式を仮定すれば本システムのハ

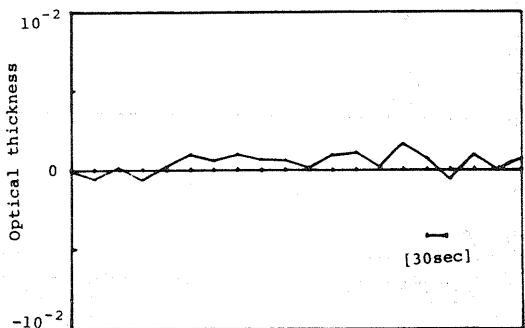


図4 空セルの長時間測定

ードウェアによって得られる標準偏差は

$$\sigma(C_{NO_2} \cdot L) = 2 \text{ [ppm} \cdot \text{m}] \quad (10)$$

と算出される。この値は(6)式によって与えられるものに比べて著しく大きいがその主な原因是電子信号処理系統が N_2 レーザ発射時の衝撃性電磁雑音を拾うことと、光学系の剛性不足によるスリット比、あるいは透過率のゆらぎによるものと推測されている。前者についてはシールド、タイミング、回路方式の変更により容易に $1/10$ 程度にできるものと考えられている。

6 紫外域 $220\sim227 \text{ nm}$ における NO , NH_3 , SO_2 の同時測定 図5及び図6(a)に NO , SO_2 及び NH_3 の吸収断面積を示す。これから判るように $220\sim227 \text{ nm}$ の波長域を利用すれば3種のガスの同時測定が可能である。その場合 NH_3 と SO_2 の吸収スペクトルに一部重りがあるのでこれを分離するため2節で述べた数値フィルタが用いられる。

実際の測定に当っては色素レーザに非線形光学結晶 KPB を用いた倍倍器を装着する事以外は可視光の場合と同じ機器構成である。

この場合の測定精度についてはフォトダイオードの量子効率が約 $1/10$ 以下るので検出精度の理論的限界は悪化する筈であるが我々の場合前述したように電子信号処理系統の発生する雑音の方が卓越してるので精度の悪化は観測さ

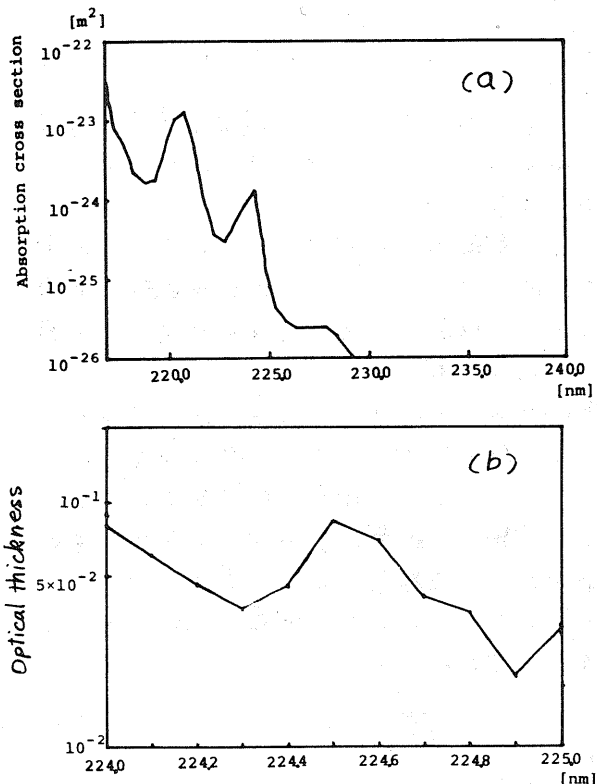
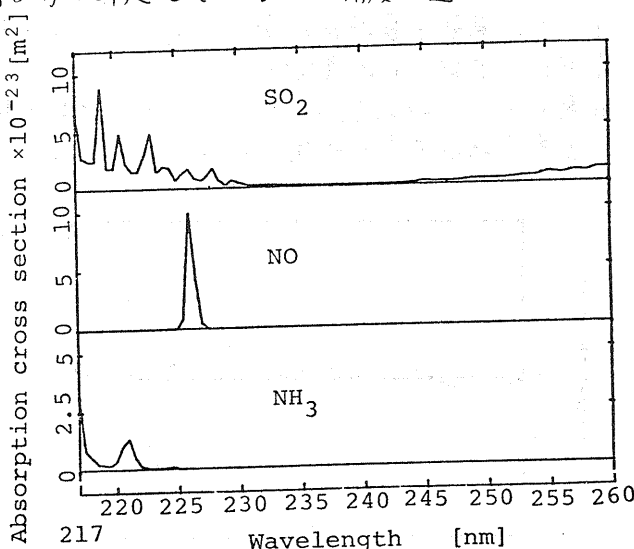


図6 NH_3 の吸収断面積(a)^[4] と測定された吸収(b).

図6は既に報告^[4]されている断面積と本装置によって測定した例を比較したものである。試料はセル中に滴下したアンモニア水からのガスで濃度は不明であるが 224.5 nm 付近の吸収のピーコーについては両者の間に良い一致が見られる。

7. まとめ 短光路上の吸収を測定して希薄な大気汚染ガスを測定するための方式としてパルス動作可調レーザを用いるシステムの開発を行ってきた。現在までに得られた精度の実測値は NO_2 に対して $2 \text{ ppm} \cdot \text{m}$ であり、理論的限界はフォトダイオードの量子化雑音から $0.04 \text{ ppm} \cdot \text{m}$ であることを示した。さらにUV域においては NO , SO_2 , NH_3 の同時測定が可能であることを実験結果の一端を示した。

- [1] 佐野他: 照明学会誌 Vol. 61, 169 (1977)
- [2] 佐野他: 第4回レーザ・レーダ・シンポジウム#7 (1977)
- [3] Wilkerson et al.: Univ. of Maryland Technical Note BN-184, 1974.
- [4] Thompson et al.: J. of Geophysical Research, Vol. 68, p. 6431, 1963.